

ارزیابی روش‌های زمین‌آماری در برآورد منطقه‌ای تبخیر و تعرق مرجع و مقایسه با نتایج موجود حاصل از تصاویر ماهواره‌ای در مرکز و شمال استان خوزستان

سهراب حجام - دانشیار دانشگاه آزاد اسلامی- واحد علوم و تحقیقات تهران- گروه هواشناسی کشاورزی

* مژده جامعی - کارشناس ارشد هواشناسی کشاورزی - دانشگاه آزاد اسلامی- واحد علوم و تحقیقات تهران - گروه هواشناسی کشاورزی

ساسان بابائی کفакی - استادیار دانشگاه آزاد اسلامی- واحد علوم و تحقیقات تهران- گروه جنگلداری

چکیده :

هدف بررسی حاضر سنجش دقت روش‌های مختلف زمین‌آماری در برآورد منطقه‌ای تبخیر و تعرق مرجع در استان خوزستان و مقایسه با نتایج موجود حاصل از تصاویر ماهواره‌ای در منطقه می‌باشد. در این تحقیق تبخیر و تعرق مرجع از روش فائق پنمن مانتیت و با استفاده از داده‌های ثبت شده در ۳۸ ایستگاه منطقه مطالعاتی محاسبه گردید. جهت تعمیم تبخیر و تعرق نقطه‌ای به منطقه‌ای، دقت روش‌های زمین‌آماری: وزن‌دهی عکس فاصله با توانهای ۱تا ۵ و تعداد همسایگی‌های ۳ الی ۳۰، اسپیلاین، کریجینگ کروی و نمایی و کوکریجینگ مورد بررسی قرار گرفت. ارزیابی نتایج روش‌های زمین‌آماری بر اساس معیارهای: ریشه میانگین مربع خطأ، میانگین خطای انحراف، خطای مطلق میانگین و رگرسیون ساده خطی صورت پذیرفت. نتایج بدست آمده بیانگر این بود که کریجینگ کروی در مقیاس ماهانه و کریجینگ نمایی در مقیاس سالانه بهترین روش‌ها برای منطقه‌ای نمودن تبخیر و تعرق مرجع در منطقه می‌باشند. مقایسه نتایج زمین‌آمار و سنجش از دور نشان داد که مقادیر تبخیر و تعرق برآورد شده در زمین‌آمار دقیق‌تر بوده و کاربرد عملی دارند.

کلید واژه‌ها: تبخیر و تعرق مرجع، زمین‌آمار، کریجینگ کروی و نمایی، سیستم اطلاعات جغرافیایی، سنجش از دور، خوزستان.

در این روش‌ها از مقادیر معلوم نمونه‌برداری شده برای پیش‌بینی مقادیر مجهول در محل‌های نمونه‌برداری نشده استفاده می‌شود. لانجری¹ و همکاران پنهنه‌بندی تبخیر و تعرق پتانسیل در اسپانیا را با استفاده از درون یابی داده‌های مکانی و درجه حرارت انجام دادند که نتایج حاصله بیانگر اطمینان بالایی بودند.^[۱] گونگ² و همکاران در چین روش کریجینگ معمولی را که بیشترین دقت در اعتبار سنجی را دارا بود برای درون یابی تبخیر و تعرق مرجع محاسبه شده به روش

۱- مقدمه :

تبخیر و تعرق یکی از مولفه‌های اصلی بیلان آب در هر منطقه است که تعیین دقیق آن برای مطالعات بیلان‌آبی، مدیریت منابع آب، تعیین نیازآبی و ... اهمیت زیادی دارد. در روش‌های معمول و متداول، تبخیر و تعرق بصورت نقطه‌ای در محل ایستگاهها محاسبه می‌گردد و در مناطقی که ایستگاهی وجود ندارد نمی‌توان میزان تبخیر و تعرق را برآورد نمود. امروزه بكمک روش‌های زمین‌آماری می‌توان تبخیر و تعرق منطقه‌ای را در سطوح وسیع بدست آورد.

نقاط ایران استفاده کرده است [۱۰]. کشکولی و همکاران جهت تعیین تبخیر و تعرق پتانسیل در منطقه شمال خوزستان، روش پنمن ماننتیت را به دلیل تطابق آن با داده های لایسیمتری توصیه نمودند [۱۱]. بنابراین در مطالعه حاضر برای محاسبه تبخیر و تعرق مرجع در ایستگاهها، روش فائو پنمن ماننتیت بکاربرده شده است.

۲- مواد و روش ها :

استان خوزستان با مساحت ۶۴۷۴۶ کیلومتر مربع، بین ۴۷ درجه و ۴۱ دقیقه تا ۵۰ درجه و ۳۹ دقیقه طول شرقی و ۲۹ درجه و ۵۸ دقیقه تا ۳۳ درجه و ۴ دقیقه عرض شمالی، در جنوب غربی ایران واقع است. متوسط بارندگی سالانه استان حدود ۲۶۶ میلیمتر و متوسط درجه حرارت آن حدود $31\frac{1}{2}$ درجه سانتیگراد می باشد. برای انجام این تحقیق از آمار ۳۸ ایستگاه (۱۱ سینوپتیک، ۵ کلیماتولوژی و ۲۲ تبخیر سنجی) طی یک دوره آماری ۲۶ ساله (سالهای ۱۹۸۰-۲۰۰۵ میلادی) استفاده گردید.

۱-۲- محاسبه تبخیر و تعرق مرجع نقطه ای :
برای محاسبه تبخیر و تعرق مرجع در ایستگاه های مورد بررسی، از روش فائو پنمن ماننتیت و برای انجام محاسبات آن از نرم افزار کراپ وات^۳ استفاده شد. سازمان خواروبار جهانی برنامه کامپیوتری مذکور را بر اساس روش فائو پنمن ماننتیت برای محاسبه تبخیر و تعرق مرجع معرفی کرده است [۱۲]. ورودی نرم افزار پنج پارامتر متوسط حداقل دما، متوسط حداکثر دما، رطوبت نسبی، سرعت باد و تابش می باشد. بررسی آمار ایستگاه های منتخب مشخص نمود که در برخی سالها خلاء آماری وجود دارد. از این رو قبل از محاسبه تبخیر و تعرق، تکمیل و بازسازی داده ها با استفاده از آمار ایستگاه های همشرط با داده کامل صورت پذیرفت. آنگاه تبخیر و تعرق مرجع در ۳۸ ایستگاه مطالعاتی به روش فائو پنمن ماننتیت و به کمک نرم افزار کراپ وات محاسبه گردید و داده ها جهت انجام درون یابی آماده شدند.

۲-۲- روش های درون یابی :

پنمن ماننتیت انتخاب نمودند [۲]. مارديکيس^۱ و همکاران برای پيش بيني مكانی ميانگين روزانه تبخیر و تعرق مرجع حاصله از معادله پنمن ماننتیت در یونان، روش های باقیمانده کريجينگ و شيب مثبت عکس مربع فاصله را که دقت بالاتری داشتند توصیه نمودند [۳]. نتایج مطالعه دالزيوس^۲ و همکاران بیانگر آن است که مقادیر برآورده شده تبخیر و تعرق مرجع با استفاده از کريجينگ نمایی در سطح وسیعی از یونان قابل قبول می باشند [۴]. نظری فر و همکاران جهت بررسی تغییرات منطقه ای تبخیر و تعرق پتانسیل در استان همدان، کريجينگ را در مقیاس ماهانه و وزن-دهی عکس فاصله را در مقیاس سالانه توصیه کردند [۵]. شهرابی فر تبخیر و تعرق مرجع منطقه ای را در استان تهران با استفاده از کريجينگ و کوکريجينگ برآورد نمود و بر اساس نتایج حاصله، روش کريجينگ در اولویت قرار گرفت [۶]. مهدیان و حسینی ابری (۱۳۸۲) در بررسی تغییرات ناحیه ای تبخیر و تعرق پتانسیل در حوزه آبخیز کارون، ميانگين متحرک وزنی و اسپلاین های پیرايشی را در مقیاس ماهانه و کوکريجينگ را در مقیاس سالانه توصیه کردند [۷]. پس نمی توان یک روش زمين آماری خاص را برای درون یابی یک پدیده در همه مناطق معرفی نمود. بنابراین يكی از اهداف این مطالعه ارزیابی روش های مختلف درون یابی برای منطقه ای نمودن تبخیر و تعرق مرجع در استان خوزستان است. از دیگر روش های برآورد منطقه ای تبخیر و تعرق، استفاده از تکنولوژی سنجش از دور می باشد. مباشری میزان تبخیر و تعرق را در دشت های مرکزی و شمالی خوزستان با استفاده از تصاویر سنجده ETM+ ماهواره لنdest ۷ و مدل سibal برآورد نمود [۸]. بررسی مقایسه ای نتایج حاصل از زمین آمار و سنجش از دور از دیگر اهداف این تحقیق است. در سال ۱۹۹۰ سازمان خواروبار جهانی روش ترکیبی فائو پنمن ماننتیت را به عنوان یک استاندارد برای محاسبه تبخیر و تعرق مرجع پیشنهاد داد [۹]. وزارت کشاورزی در تهیه سند ملی نیاز آبی کشور روش فائو پنمن ماننتیت را بعنوان روش استاندارد برای محاسبه تبخیر و تعرق مرجع در تمام

اندازه‌گیری شده وزنی را نسبت می‌دهند شرط استفاده از کریجینگ نرمال بودن داده‌ها می‌باشد^[۱۴]. رابطه کریجینگ معمولی به صورت زیر است:

$$Z^* = \sum_{i=1}^n \lambda_i Z(x_i) \quad (۲)$$

Z^* : مقدار تخمینی، λ_i : وزن یا اهمیتی که به نمونه i نسبت داده شده است.
 $Z(x_i)$: مقدار نمونه i ام

در این مطالعه برای بررسی نرمال بودن داده‌های ماهانه تبخیر و تعرق محاسبه شده در ایستگاهها، از آزمون اکتشافی کلموگروف- اسپیرنوف استفاده شد و درون‌یابی داده‌ها با دو مدل کروی و نمایی کریجینگ انجام گردید.

- **روش کوکریجینگ^۴**: اساس این روش همبستگی بین متغیر اصلی و کمکی می‌باشد. این روش هنگامی که ضریب همبستگی بین دو متغیر معنی‌دار باشد استفاده می‌شود، معادله کوکریجینگ به شرح زیر است [۱۴].

$$Z^*(x_i) = \sum_{i=1}^n (\lambda_i Z(x_i)) \cdot \sum_{k=1}^n (\lambda_k \cdot y(x_k)) \quad (۳)$$

$Z^*(x_i)$: مقدار تخمین زده شده برای نقطه x_i
 λ_i : وزن مربوط به متغیر Z ، λ_x : وزن مربوط به متغیر y ، $Z(x_i)$: مقدار مشاهده شده متغیر اصلی، $y(x_k)$: مقدار مشاهده شده متغیر کمکی.
 شایان ذکر است که برای انجام همه درون‌یابی‌ها در این مطالعه، تحلیل گر زمین‌آمار^۵ در نرم‌افزار ArcGIS 9.2 بکاربرده شد.

- **روش و معیار ارزیابی**: به منظور بررسی دقیت روش‌های زمین‌آماری بکار گرفته از روش اعتبارسنجی حذفی^۶ استفاده شد. در این روش مقدار یک نقطه حذف شده و با روش درون‌یابی از مقادیر نقاط دیگر برآورد می‌گردد. سپس مقدار نقطه دوباره به آن داده شده و این کار برای تمام نقاط مورد بررسی انعام می‌شود که در نتیجه آن می‌توان دقیت برآوردهای حاصل از درون‌یابی را محاسبه کرد[۱۵].

درون‌یابی تکنیکی است که از مقادیر معلوم نمونه‌برداری شده، برای پیش‌بینی مقادیر مجھول در محل‌های نمونه‌برداری نشده استفاده می‌شود. در واقع هدف از درون‌یابی آن است که با استفاده از یک مجموعه نقاط، سطحی پیوسته ایجاد شود. انتخاب روش درون‌یابی به طبیعت متغیر و تغییرات آن بستگی دارد و باید توجه شود که برای حالات مختلف هیچگاه استفاده از یک مدل به عنوان مدل بهینه پیشنهاد نمی‌شود، چون یک مدل خاص در شرایط مختلف دقت‌های متفاوتی را حاصل می‌کند.

- **روش وزن‌دهی عکس فاصله^۱ (IDW)**: در این روش برای پیش‌بینی مقدار مجھول یک موقعیت نمونه برادری نشده، از مقادیر معلوم اندازه‌گیری شده نقاط اطراف (نقاط همسایگی) استفاده می‌شود. بدین منظور به مقدار معلوم نقاط مجاور به نسبت فاصله آنها از نقطه مجھول، وزنی اعمال شده است. این روش بصورت عکس فاصله به توان (P) بیان می‌گردد که توان نشان دهنده میزان اهمیت نقطه است رابطه این روش در زیر آمده است [۱۳].

$$z(x, y) = \sum_{i=1}^n \lambda_i z_i \quad \lambda_i = \frac{\frac{1}{d_i^p}}{\sum_{i=1}^n \frac{1}{d_i^p}} \quad (۱)$$

$Z(x,y)$: مقدار نقطه مجھول، λ_i : وزن مربوط به نقطه i ام در تعیین مقدار نقطه مجھول
 Z_i : مقدار نقطه معلوم، p : توان
 d : فاصله نقطه مجھول تا نقطه i ام.
 در این مطالعه توان‌های ۱ الی ۵ و ۱۰ مدل همسایگی مورد بررسی قرار می‌گیرد.

- **روش اسپیلاین^۲ (TPS)**: اسپیلاین‌ها همواره، توابع پیچیده‌ای شامل قطعاتی از چند جمله‌ای با درجات مختلف بین هر دو نقطه از مکان می‌باشند که در محل تقاطع هموار شده‌اند.

- **روش کریجینگ معمولی^۳**: در روش کریجینگ نیز همانند روش وزن‌دهی عکس فاصله برای برآورد نقطه نمونه برداری نشده به هر یک از نمونه‌های

4 - CoKriging

5 - Geostatistic Analyst

6- Cross validation

1 - Inverse Distance Weight

2 - Thin Plate Spline

3 - Ordinary Kriging

های توزیع مکانی تبخیر و تعرق تهیه و مقایسه‌های مربوط صورت گرفته است.

۳- نتایج و بحث :

۱-۳- بررسی نتایج روش‌های زمین‌آماری در برآورد ماهانه تبخیر و تعرق مرجع :

- **روش وزن دهی عکس فاصله (IDW) :** با استفاده از اعتبارستجوی حذفی و ارزیابی ریشه میانگین مربعات خطا مشخص گردید که از بین توانهای ۱ تا ۵، توان ۳ در بیشتر ماهها کمترین خطا را دارد، بنابراین توان ۳ بعنوان توان بهینه معادله IDW برای ادامه مراحل انتخاب گردید. جهت تعیین تعداد نقاط بهینه در برآورد منطقه‌ای تبخیر و تعرق مرجع، درون‌یابی این داده‌ها در ماههای مختلف با تعداد نقاط همسایگی ۳۰، ۲۷، ۲۴، ۲۱، ۱۸، ۱۵، ۱۲، ۹، ۶، ۳ و با توان بهینه ۳ انجام گردید. نتایج ارزیابی معیارهای مختلف خطا مشخص نمود که در بیشتر ماهها درون‌یابی با ۶ ایستگاه کمترین خطا را دارا می‌باشد. نتایج ارزیابی خطاهای در جدول (۱) آرائه شده است.

برای ارزیابی روش‌های مورد استفاده در تحقیق حاضر و انتخاب بهترین روش زمین‌آماری از معیارهای ارزیابی: ریشه میانگین مربع خطأ ($RMSE$)^۱، میانگین خطای انحراف (MBE)^۲، خطای مطلق میانگین (MAE)^۳ و رگرسیون ساده خطی استفاده شد که روابط آنها عبارتند از:

$$RMSE = \sqrt{\frac{\sum_{i=1}^N [Z(x_i) - \bar{Z}(x_i)]^2}{N}} \quad (4)$$

$$MBE = \frac{\sum_{i=1}^N [Z(x_i) - \bar{Z}(x_i)]}{N} \quad (5)$$

$$MAE = \frac{\sum_{i=1}^N |Z(x_i) - \bar{Z}(x_i)|}{N} \quad (6)$$

$Z(x_i)$: مقدار مشاهده شده متغیر A

$\bar{Z}(x_i)$: مقدار برآورده شده متغیر A ، N : تعداد داده‌ها

۴-۲- بررسی مقایسه‌ای نقشه‌های تبخیر و تعرق حاصل از زمین‌آمار و داده‌های ماهواره‌ای:

مبادری پنهان‌بندی نسبی تبخیر و تعرق را در مناطقی از خوزستان شمالی و مرکزی که دارای کشاورزی دایر بوده و یا مستعد کشاورزی می‌باشد، با استفاده از مدل سیال^۴ انجام داد. این مدل یکی از الگوریتم‌هایی است که تبخیر و تعرق را با استفاده از تصاویر ماهواره و داده‌های هواشناسی برآورد می‌نماید. وی از تصاویر سه گذر ماهواره لندست ۷ در تاریخ‌های می ۲۰۰۲، آگوست ۲۰۰۲ و ژانویه ۲۰۰۵ برای تولید تصاویر دیگر ماهها استفاده شده است. در این مطالعه نتایج بدست آمده برای ماهی که تصویر متعلق به آن است از صحت کافی برخوردار بوده ولی برای سایر ماهها و فصول مختلف، نتایج بدست آمده دقیق مطلق را نداشته و بطور نسبی قابل استناد هستند [۸]. در تحقیق حاضر تنها به بررسی نقشه‌های تبخیر و تعرق ماهانه‌ای که گذر ماهواره در آن زمان رخ داده است پرداخته می‌شود. برای این منظور نقشه

1 -Root Mean Square Error (RMSE)

2 - Mean Bias Error (MBE)

3 - Mean Absolute Error (MAE)

4 -SEBAL

(جدول-۱) : نتایج ارزیابی خطای روش IDW3 با تعداد همسایگی‌های بینه در برآورد منطقه‌ای ETo

| ماه | تعداد ایستگاه | RMSE (mm) | MBE (mm) | MAE (mm) | پارامترهای معادله رگرسیون | | |
|---------|---------------|-----------|----------|----------|---------------------------|------|------|
| | | | | | r | a | b |
| ژانویه | ۶ | ۰/۱۴۴ | ۰/۰۰۶ | ۰/۱۰۵ | ۰/۸۲ | ۰/۵۱ | ۰/۶۷ |
| فوریه | ۶ | ۰/۱۸۶ | ۰/۰۰۱ | ۰/۱۳۰ | ۰/۸۹ | ۰/۵۵ | ۰/۷۸ |
| مارس | ۲۱.۲۴.۲۷ | ۰/۲۴۵ | -۰/۰۰۱ | ۰/۱۸۲ | ۰/۹۰ | ۰/۷۸ | ۰/۷۸ |
| آوریل | ۶ | ۰/۴۴۳ | -۰/۰۲۱ | ۰/۳۱۹ | ۰/۸۵ | ۱/۲۲ | ۰/۷۷ |
| می | ۶ | ۰/۵۹۹ | -۰/۰۲۰ | ۰/۴۳۰ | ۰/۸۲ | ۱/۹۸ | ۰/۷۳ |
| ژوئن | ۶ | ۰/۶۱۵ | ۰/۰۵۸ | ۰/۴۴۶ | ۰/۸۹ | ۱/۹۷ | ۰/۷۷ |
| ژوئیه | ۳ | ۰/۶۱۰ | ۰/۰۵۹ | ۰/۴۶۱ | ۰/۸۹ | ۱/۶۸ | ۰/۸۰ |
| آگوست | ۳ | ۰/۵۹۵ | ۰/۰۵۰ | ۰/۴۲۸ | ۰/۸۷ | ۱/۷۱ | ۰/۷۷ |
| سپتامبر | ۳ | ۰/۴۷۱ | ۰/۰۳۳ | ۰/۳۲۰ | ۰/۸۶ | ۱/۴۶ | ۰/۷۵ |
| اکتبر | ۶ | ۰/۴۰۳ | ۰/۰۰۵ | ۰/۲۸۳ | ۰/۸۱ | ۱/۳۰ | ۰/۷۸ |
| نوامبر | ۶ | ۰/۲۷۱ | ۰/۰۰۴ | ۰/۱۷۷ | ۰/۸۶ | ۰/۶۷ | ۰/۷۲ |
| دسامبر | ۶ | ۰/۱۶۶ | ۰/۰۰۹ | ۰/۱۲۰ | ۰/۸۳ | ۰/۵۱ | ۰/۶۶ |

- مختلف ارزیابی خطای مورد بررسی قرار گرفتند (جدول-۲). مرجع با روش اسپیلین در ماههای مختلف انجام شده و نتایج تبخیر و تعرق برآورد شده، بوسیله معیارهای

(جدول-۲) : نتایج ارزیابی خطای روش TPS در برآورد منطقه‌ای ETo ماهانه

| ماه | RMSE (mm) | MBE (mm) | MAE (mm) | پارامترهای معادله رگرسیون | | |
|---------|-----------|----------|----------|---------------------------|------|------|
| | | | | r | a | b |
| ژانویه | ۰/۱۹۶ | -۰/۰۰۷ | ۰/۱۵۰ | ۰/۷۲ | ۰/۳۴ | ۰/۷۹ |
| فوریه | ۰/۳۱۴ | -۰/۰۱۸ | ۰/۲۱۸ | ۰/۷۵ | ۰/۴۰ | ۰/۸۴ |
| مارس | ۰/۳۴۸ | ۰/۰۱۳ | ۰/۲۵۴ | ۰/۸۱ | ۰/۵۱ | ۰/۸۵ |
| آوریل | ۰/۶۰۳ | -۰/۰۱۸ | ۰/۴۷۹ | ۰/۷۹ | ۰/۵۴ | ۰/۹۰ |
| می | ۰/۷۶۶ | ۰/۰۰۷ | ۰/۶۰۳ | ۰/۷۶ | ۱/۱۱ | ۰/۸۵ |
| ژوئن | ۰/۷۰۱ | -۰/۰۱۹ | ۰/۵۷۶ | ۰/۸۸ | ۰/۳۱ | ۰/۹۷ |
| ژوئیه | ۰/۶۵۱ | -۰/۰۲۱ | ۰/۵۲۵ | ۰/۸۹ | ۰/۲۸ | ۰/۹۷ |
| آگوست | ۰/۶۶۹ | -۰/۰۰۹ | ۰/۵۴۳ | ۰/۸۶ | ۰/۶۶ | ۰/۹۲ |
| سپتامبر | ۰/۵۹۵ | -۰/۰۰۸ | ۰/۴۶۵ | ۰/۸۳ | ۰/۳۸ | ۰/۹۵ |
| اکتبر | ۰/۵۳۰ | -۰/۰۰۹ | ۰/۳۹۴ | ۰/۷۷ | ۰/۴۰ | ۰/۹۲ |
| نوامبر | ۰/۴۱۹ | -۰/۰۰۴ | ۰/۲۷۸ | ۰/۷۶ | ۰/۱۹ | ۰/۹۴ |
| دسامبر | ۰/۲۲۳ | -۰/۰۱۰ | ۰/۱۶۳ | ۰/۷۴ | ۰/۳۰ | ۰/۸۱ |

پذیرفت. نتیجه بررسی سنجه‌های دو مدل کریجینگ مشخص نمود که در مدل کروی مقدار خطای رسمی همه ماهها با اختلاف ناچیزی کمتر از مدل نمایی است (جدول-۳). بنابراین مدل کروی کریجینگ برای ادامه مطالعات انتخاب شد.

- روش کریجینگ معمولی: در برآورد ماهانه تبخیر و تعرق مرجع به روش کریجینگ، از دو مدل معمول سمی و اریوگرام کروی و نمایی استفاده شده است. پس از انجام درونیابی‌ها، اعتبارسنجی حذفی و ارزیابی سنجه‌های مختلف خطای دو مدل صورت

(جدول-۳) : نتایج ارزیابی خطای دو مدل کریجینگ در برآورد منطقه‌ای ETo ماهانه

| ماه | کریجینگ کروی | | | کریجینگ نمایی | | |
|---------|--------------|-------------|-------------|---------------|-------------|-------------|
| | RMSE (mm) | MBE (mm) | MAE (mm) | RMSE (mm) | MBE (mm) | MAE (mm) |
| ژانویه | ۰/۱۴۲ | -۰/۰۰۲ | ۰/۱۰۴ | ۰/۱۴۶ | -۰/۰۰۲ | ۰/۱۱۰ |
| فوریه | ۰/۱۸۸ | -۰/۰۰۶ | ۰/۱۴۰ | ۰/۱۹۳ | -۰/۰۰۶ | ۰/۱۴۲ |
| مارس | ۰/۲۴۳ | -۰/۰۰۶ | ۰/۱۸۱ | ۰/۲۴۸ | -۰/۰۰۷ | ۰/۱۸۷ |
| آوریل | ۰/۴۴۰ | -۰/۰۰۹ | ۰/۳۱۹ | ۰/۴۳۸ | -۰/۰۱۵ | ۰/۳۱۹ |
| می | ۰/۵۷۵ | -۰/۰۰۷ | ۰/۴۰۹ | ۰/۵۸۵ | -۰/۰۱۲ | ۰/۴۲۲ |
| ژوئن | ۰/۵۹۰ | ۰/۰۰۴ | ۰/۴۴۴ | ۰/۵۸۴ | ۰/۰۱۴ | ۰/۴۳۳ |
| ژوئیه | ۰/۵۷۵ | ۰/۰۱۰ | ۰/۴۳۷ | ۰/۵۷۴ | ۰/۰۲۳ | ۰/۴۳۸ |
| آگوست | ۰/۵۶۳ | ۰/۰۰۱ | ۰/۴۱۷ | ۰/۵۶۶ | ۰/۰۱۳ | ۰/۴۲۸ |
| سپتامبر | ۰/۴۵۵ | ۰/۰۰۰ | ۰/۳۳۲ | ۰/۴۵۹ | ۰/۰۰۷ | ۰/۳۳۹ |
| اکتبر | ۰/۴۱۱ | -۰/۰۰۵ | ۰/۲۹۳ | ۰/۴۰۵ | -۰/۰۰۶ | ۰/۲۹۴ |
| نوامبر | ۰/۲۷۷ | -۰/۰۰۶ | ۰/۱۹۶ | ۰/۲۷۷ | -۰/۰۰۷ | ۰/۱۹۶ |
| دسامبر | ۰/۱۶۵ | -۰/۰۰۲ | ۰/۱۲۴ | ۰/۱۶۸ | -۰/۰۰۲ | ۰/۱۲۸ |

معنی دار می باشد. پس از بررسی رابطه همبستگی، درون یابی داده های تبخیر و تعرق مرجع با متغیر کمکی انجام گردیده و مانند روش های دیگر، ارزیابی خطای روش با معیار های مختلف صورت پذیرفت که نتایج آن در جدول (۴) ارائه شده است.

- **روش کوکریجینگ :** در این روش تبخیر و تعرق مرجع به عنوان متغیر اصلی و ارتفاع ایستگاه از سطح دریا متغیر کمکی در نظر گرفته شد. بررسی رابطه همبستگی این دو متغیر با استفاده از آزمون معنی دار بودن ضریب همبستگی مشخص نمود که در همه ماهها همبستگی بین دو متغیر حداقل در سطح ۹۵٪

(جدول-۴) : نتایج ارزیابی خطای روش کوکریجینگ در برآورد منطقه‌ای ETo ماهانه

| ماه | RMSE (mm) | MBE (mm) | MAE (mm) | پارامترهای معادله رگرسیون | | |
|---------|--------------|-------------|-------------|---------------------------|------|------|
| | | | | r | a | b |
| ژانویه | ۰/۱۵۵ | ۰/۰۰۳ | ۰/۱۱۹ | ۰/۷۹ | ۰/۴۹ | ۰/۷۸ |
| فوریه | ۰/۲۰۹ | -۰/۰۰۷ | ۰/۱۶۱ | ۰/۸۶ | ۰/۵۰ | ۰/۷۹ |
| مارس | ۰/۲۹۳ | -۰/۰۰۸ | ۰/۲۳۰ | ۰/۸۵ | ۰/۶۸ | ۰/۸۰ |
| آوریل | ۰/۴۹۳ | -۰/۰۱۰ | ۰/۳۷۰ | ۰/۸۲ | ۱/۲۵ | ۰/۷۶ |
| می | ۰/۶۳۵ | -۰/۰۰۹ | ۰/۴۷۰ | ۰/۸۰ | ۱/۹۸ | ۰/۷۳ |
| ژوئن | ۰/۶۵۷ | ۰/۰۲۱ | ۰/۵۱۵ | ۰/۸۷ | ۱/۷۸ | ۰/۷۹ |
| ژوئیه | ۰/۶۲۱ | ۰/۰۲۵ | ۰/۴۸۲ | ۰/۸۸ | ۱/۸۶ | ۰/۷۸ |
| آگوست | ۰/۶۰۰ | ۰/۰۱۲ | ۰/۴۵۷ | ۰/۸۷ | ۱/۸۷ | ۰/۷۶ |
| سپتامبر | ۰/۴۸۱ | ۰/۰۰۹ | ۰/۳۵۷ | ۰/۸۶ | ۱/۶۳ | ۰/۷۳ |
| اکتبر | ۰/۴۲۴ | ۰/۰۰۰ | ۰/۳۱۴ | ۰/۷۹ | ۱/۴۸ | ۰/۶۴ |
| نوامبر | ۰/۳۰۴ | -۰/۰۰۱ | ۰/۲۲۴ | ۰/۸۲ | ۰/۷۰ | ۰/۷۲ |
| دسامبر | ۰/۱۷۹ | ۰/۰۰۳ | ۰/۱۴۰ | ۰/۸۰ | ۰/۴۸ | ۰/۶۸ |

تعیین بهترین روش زمین آماری در برآورد ماهانه ETo، معیارهای خطای در روش های مختلف مورد ارزیابی قرار گرفته که نتایج آنها به شرح زیر می باشد :

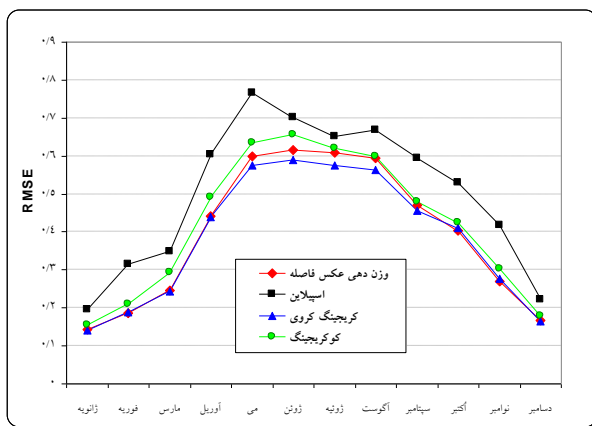
-۳- بهترین روش زمین آماری برای منطقه- ای نمودن تبخیر و تعرق مرجع ماهانه : به منظور

❖ مقایسه معادله‌های خط رگرسیون نشان می‌دهد که در کریجینگ کروی، همبستگی بین مقادیر واقعی و مقادیر برآورده شده تبخیر و تعرق مرجع ماهانه بیشترین می‌باشد.

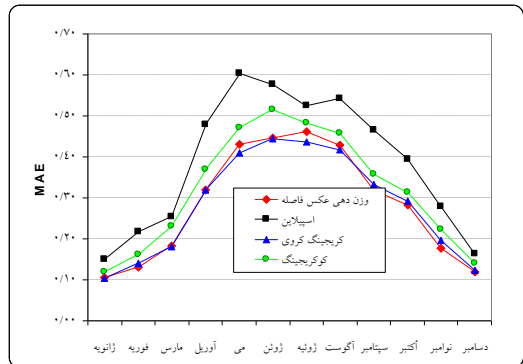
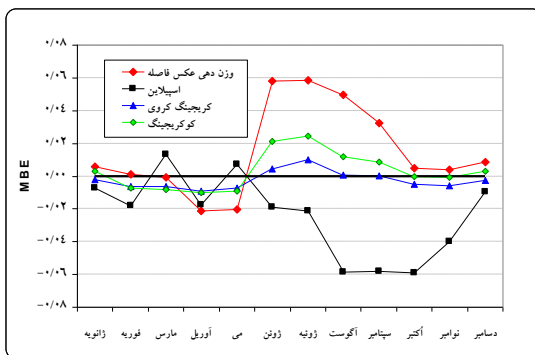
❖ بنابراین بر اساس یافته‌های این تحقیق، کریجینگ کروی بعنوان بهترین روش برای منطقه‌ای نمودن تبخیر و تعرق مرجع ماهانه در استان خوزستان معرفی می‌گردد. زیرا این روش بالاترین دقت فضایی را در بین روش‌ها به خود اختصاص داده است و دارای کمترین خطا در برآورد تبخیر و تعرق مرجع می‌باشد.

❖ از مقایسه خطای MAE و RMSE روش‌های مختلف مشخص گردید که کریجینگ کروی در بیشتر ماهها کمترین خطا را داشته و بالاترین دقت فضایی را در بین همه روش‌ها دارا می‌باشد (شکل‌های ۱ و ۲).

❖ بررسی شاخص MBE مشخص نمود که در کریجینگ کروی مقدار خطا انحراف کمترین بوده و به عبارت دیگر متوسط اختلاف مقادیر واقعی و مقادیر برآورده شده ET_O ماهانه در کریجینگ کروی کمترین است (شکل-۳).



(شکل-۱): مقایسه خطای RMSE در برآورد ماهانه تبخیر و تعرق مرجع



(شکل-۳): مقایسه خطای MAE در برآورد ماهانه ET_O (شکل-۲): مقایسه خطای MBE در برآورد ماهانه ET_O

نقش مولفه ساختاردار تبخیر و تعرق در همه ماهها بیشتر از مولفه بی‌ساختار آن است. این سنجه بر ایده آل بودن ساختار فضایی تبخیر و تعرق ماهانه در استان خوزستان دلالت دارد.

- بررسی پارامترهای سمی‌واریوگرام کریجینگ کروی: جهت تشریح ساختار فضایی ET_O در منطقه مطالعاتی، نسبت اثر قطعه‌ای به سقف ($\frac{C_0}{\sigma^2}$) از طریق بررسی پارامترهای سمی‌واریوگرام کروی در کریجینگ ارزیابی شد. بر اساس نتایج جدول (۵)، در مدل کروی

(جدول-۵) : نتایج ارزیابی پارامترهای نیم‌تغییرنما در کریجینگ کروی

| ماه | اثر قطعه (C_0) ای σ^2 | سقف | $\frac{C_0}{\sigma^2}$ | ماه | اثر قطعه (C_0) ای σ^2 | سقف | $\frac{C_0}{\sigma^2}$ |
|--------|---|------|------------------------|---------|---|------|------------------------|
| ژانویه | ۰/۰۱ | ۰/۱۰ | ۰/۰۸ | ژوئیه | ۰/۰۰ | ۲/۷۴ | ۰/۰۰ |
| فوریه | ۰/۰۰ | ۰/۲۷ | ۰/۰۲ | آگوست | ۰/۰۵ | ۲/۴۰ | ۰/۰۲ |
| مارس | ۰/۰۲ | ۰/۵۰ | ۰/۰۴ | سپتامبر | ۰/۰۶ | ۱/۳۶ | ۰/۰۵ |
| آوریل | ۰/۰۰ | ۰/۸۹ | ۰/۰۰ | اکتبر | ۰/۱۱ | ۰/۷۰ | ۰/۱۶ |
| مای | ۰/۱۲ | ۱/۷۲ | ۰/۰۷ | نوامبر | ۰/۰۴ | ۰/۴۳ | ۰/۰۹ |
| ژوئن | ۰/۰۰ | ۲/۸۰ | ۰/۰۰ | دسامبر | ۰/۰۱ | ۰/۱۳ | ۰/۰۹ |

کریجینگ نمایی کمترین خطاهای را دارد. همبستگی بین مقادیر واقعی و مقادیر برآورد شده تبخیر و تعرق سالانه در کریجینگ نمایی بیشترین است. بنابراین کریجینگ با مدل نمایی بعنوان بهترین روش برای منطقه‌ای نمودن تبخیر و تعرق مرجع سالانه در استان خوزستان معرفی می‌شود.

۲-۳- بررسی نتایج روش‌های زمین‌آماری در برآورد سالانه تبخیر و تعرق مرجع: جهت برآورد منطقه‌ای تبخیر و تعرق مرجع سالانه، درون‌یابی این پارامتر به صورت روش‌های ذکر شده در مقیاس ماهانه صورت پذیرفت. نتایج ارزیابی خطای روشها (جدول-۶) بیانگر آن است که از میان روش‌های مختلف،

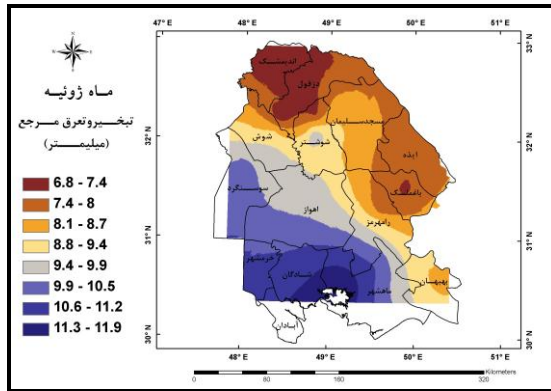
(جدول-۶) : نتایج ارزیابی خطای روش‌های مختلف زمین‌آماری در برآورد منطقه‌ای ETo سالانه

| روش | RMSE (mm) | MBE (mm) | MAE (mm) | رگرسیون معادله پارامترهای | | |
|---------------|--------------|-------------|-------------|---------------------------|-------|-----|
| | | | | r | a | b |
| کروی کریجینگ | ۱۲۸/۷۸ | -۱/۵۴ | ۹۰/۸۳ | ۰/۸۸۶ | ۴۲۶/۳ | ۰/۸ |
| نمایی کریجینگ | ۱۲۸/۵۴ | -۰/۰۴ | ۹۰/۳۷ | ۰/۸۸۷ | ۴۵۳/۹ | ۰/۸ |
| کوکریجینگ | ۱۴۳/۳۳ | ۱/۱۰ | ۱۰۴/۴۹ | ۰/۸۵۷ | ۳۹۵/۴ | ۰/۸ |
| اسپلاین | ۱۵۶/۱۰ | -۷/۹۷ | ۱۲۲/۱۱ | ۰/۸۵۸ | ۱۲۶/۹ | ۰/۹ |
| IDW-3 | ۱۳۴/۲۶ | ۳/۲۷ | ۹۲/۱۰ | ۰/۸۷۵ | ۳۶۰/۲ | ۰/۸ |
| IDW-6 | ۱۳۱/۷۱ | ۷/۰۰ | ۹۰/۳۷ | ۰/۸۸۰ | ۴۱۰/۰ | ۰/۸ |
| IDW-9 | ۱۳۲/۴۳ | ۱۰/۴۵ | ۹۳/۳۴ | ۰/۸۸۰ | ۴۶۸/۸ | ۰/۷ |
| IDW-12 | ۱۳۱/۹۳ | ۹/۰۱ | ۹۲/۱۰ | ۰/۸۸۰ | ۴۳۸/۷ | ۰/۸ |
| IDW-15 | ۱۳۱/۶۴ | ۹/۷۰ | ۹۲/۳۰ | ۰/۸۸۱ | ۴۴۱/۵ | ۰/۸ |
| IDW-18 | ۱۳۱/۰۵ | ۹/۵۱ | ۹۲/۰۴ | ۰/۸۸۱ | ۴۴۲/۸ | ۰/۸ |
| IDW-21 | ۱۳۱/۵۷ | ۹/۵۴ | ۹۲/۰۴ | ۰/۸۸۱ | ۴۴۲/۹ | ۰/۸ |
| IDW-24 | ۱۳۱/۵۷ | ۹/۵۴ | ۹۲/۰۴ | ۰/۸۸۱ | ۴۴۲/۹ | ۰/۸ |
| IDW-27 | ۱۳۱/۵۷ | ۹/۵۴ | ۹۲/۰۴ | ۰/۸۸۱ | ۴۴۲/۹ | ۰/۸ |
| IDW-30 | ۱۳۱/۵۷ | ۹/۵۴ | ۹۲/۰۴ | ۰/۸۸۱ | ۴۴۲/۹ | ۰/۸ |

مقیاس ماهانه و سالانه، نقشه‌های توزیع مکانی این پارامتر به ترتیب با روش‌های کریجینگ کروی و کریجینگ نمایی در منطقه مورد مطالعه تولید شدند. تهیه این نقشه‌ها به کمک تحلیل گر ژئواستاتیستیک در محیط ArcGIS 9.2 انجام گردید. در این مقاله از بین نقشه‌های ماهانه، نقشه ماههای ژانویه، ژوئن و

۳-۳- تهیه نقشه‌های توزیع مکانی ETo در استان خوزستان و تفسیر آنها: پس از تعیین بهترین روش‌های برآورد تبخیر و تعرق مرجع منطقه‌ای در

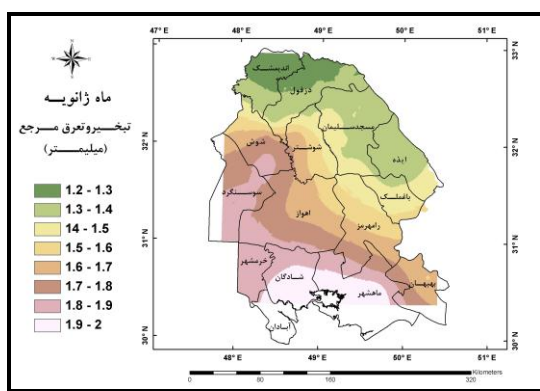
ژوئیه (شکل-۶) می‌باشد. به طور کلی در همه ماهها و در مقیاس سالانه کمترین میزان تبخیر و تعرق در بخش‌های شمال و شمال‌غرب استان و بیشترین مقدار در نواحی جنوب و جنوب‌غرب خوزستان رخ می‌دهد. در شکل(۷): نقشه توزیع مکانی تبخیر و تعرق مرجع سالانه ارائه شده است.



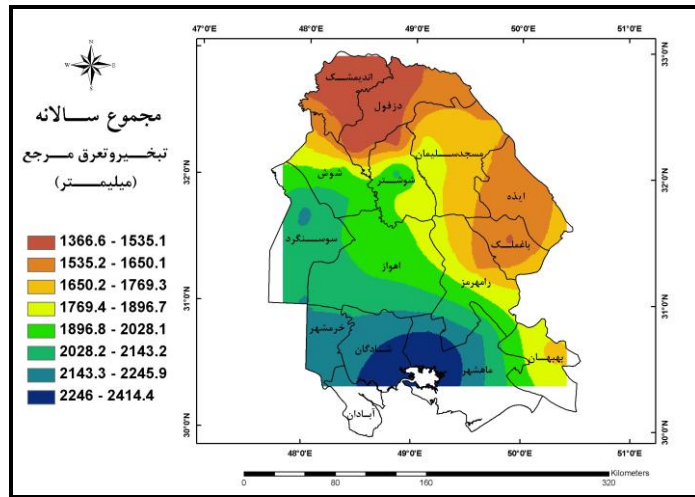
(شکل-۶): نقشه توزیع مکانی ET₀ در ژوئیه

نقشه سالانه توزیع مکانی تبخیر و تعرق مرجع در استان خوزستان نمایش داده شده است.

بر اساس این نقشه چنین نتیجه‌گیری می‌شود که: کمترین تبخیر و تعرق مرجع مربوط به ماههای ژانویه (شکل-۵) و دسامبر و بیشترین میزان تبخیر و تعرق مرجع در استان خوزستان مربوط به ماههای ژوئن و



(شکل-۵): نقشه توزیع مکانی ET₀ در ژانویه



(شکل-۷): نقشه توزیع مکانی تبخیر و تعرق مرجع سالانه

افزایش می‌یابد. بگونه‌ای که در جنوبی‌ترین بخش محدوده مطالعاتی که از نظر ارتفاع نیز جزء پست‌ترین مناطق استان خوزستان محسوب می‌گردد، بیشترین تبخیر و تعرق رخ می‌دهد. در همه ماهها کمترین مقدار تبخیر و تعرق مربوط به شمال استان می‌باشد.

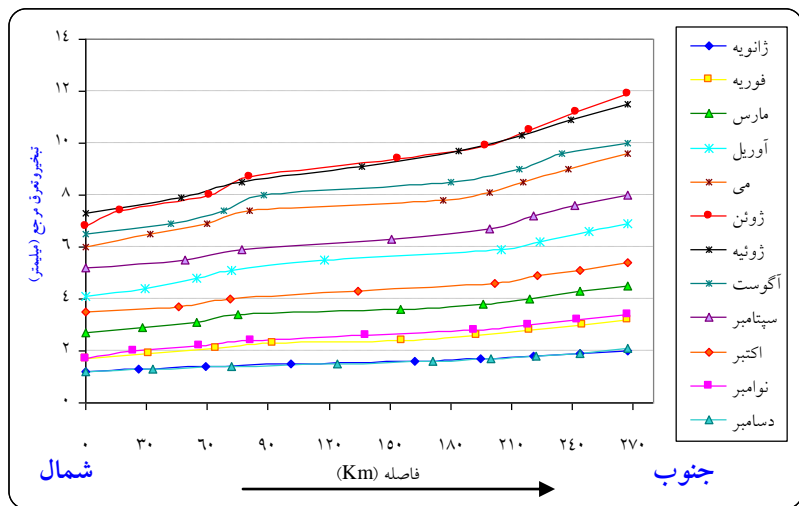
یک نیمرخ دیگر در عرض جغرافیایی 30° : 31° ترسیم گردید که بر اساس آن تغییرات ماهانه تبخیر و تعرق مرجع از غرب به طرف شرق استان بررسی شد (شکل-۹). ارزیابی این نیمرخ نشان دهنده آن است که تبخیر و تعرق مرجع از غرب به سمت شرق استان مرتب کاهش می‌یابد، به نحوی که در همه

۴-۳- تهیه نیمرخ‌های تغییرات در طول جغرافیایی 49° درجه و عرض جغرافیایی 31 درجه و 30 دقیقه و تحلیل آنها: برای داشتن دیدگاهی کلی از وضعیت تبخیر و تعرق مرجع در استان خوزستان، یک نیمرخ بر اساس نقشه‌های توزیع مکانی ماهانه در طول جغرافیایی 49° تهیه گردید که در آن تغییرات ماهانه تبخیر و تعرق مرجع از شمال به طرف جنوب استان مورد ارزیابی قرار گرفت (شکل-۸). بررسی این نیمرخ بیانگر آن است که با کم شدن عرض جغرافیایی از شمال به طرف جنوب و کاهش ارتفاع از سطح دریا، میزان تبخیر و تعرق مرجع همواره

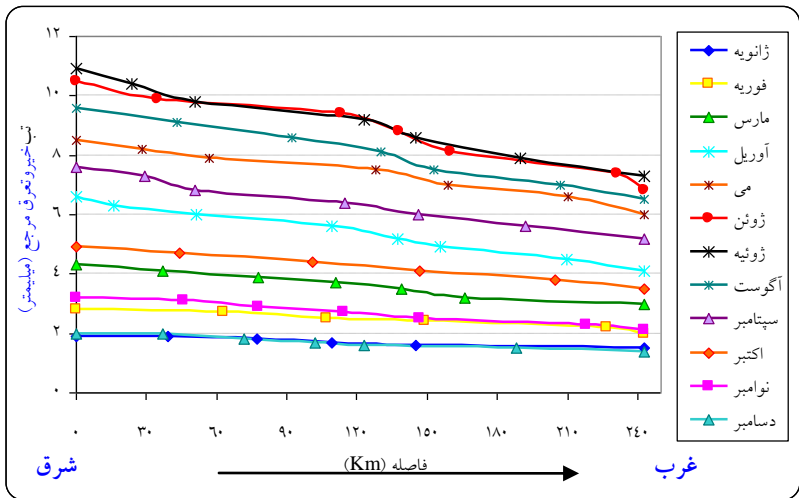
مناطق شرقی استان می‌باشد.

ماهها حداقل تبخیر و تعرق در شرق رخ می‌دهد.

یکی از علل آن افزایش ارتفاع و کوهستانی بودن



(شکل-۸) : نیمرخ تغییرات ماهانه تبخیر و تعرق مرجع در استان خوزستان - طول جغرافیایی ۴۹°



(شکل-۹) : نیمرخ تغییرات ماهانه تبخیر و تعرق مرجع در استان خوزستان - عرض جغرافیایی ۳۰° : ۳۱°

❖ نتایج ارزیابی روش‌های زمین‌آماری برای منطقه‌ای نمودن ET₀ ماهانه و سالانه در استان خوزستان با پژوهش‌های دیگر متفاوت است. در این مطالعه سعی گردید تا حد امکان از تمامی روش‌های زمین‌آماری مورد بحث در تحقیقات مختلف استفاده گردد.

❖ استفاده از نیمرخ‌های طولی و عرضی جهت تفسیر گویا تر نقشه‌ها، یکی از برتری این مطالعه در مقایسه با مطالعات مشابه می‌باشد. از وجود تمایز این مطالعه با تحقیقات مشابه، مقایسه نتایج زمین‌آمار با نتایج برآورد تبخیر و تعرق به روش سنجش از دور است که در ادامه نتایج حاصله از آن آمده‌اند.

۳-۵- مقایسه نتایج این تحقیق با سوابق پژوهشی مشابه: از مقایسه نتایج زمین‌آمار در مطالعه حاضر با سوابق تحقیقاتی مشابه مانند: مطالعه نظری- فر و همکاران (۱۳۸۶) در همدان [۵]، شهرابی‌فر (۱۳۸۳) در تهران [۶] و تحقیق مهدیان و حسینی‌ابری (۱۳۸۲) در حوضه آبریز کارون [۷] چنین استابتاط می‌شود که: یک روش خاص زمین‌آماری را نمی‌توان برای همه متغیرها و در همه مکانها معرفی نمود. بنابراین روش‌های زمین‌آماری در مناطق مختلف نتایج متفاوتی به همراه داشته و نیاز است که در هر مکانی، ارزیابی صورت پذیرد.

ب) بررسی میزان انطباق نقشه‌های حاصل از زمین‌آمار و سنجش از دور: برای بررسی انطباق دو سری نقشه با یکدیگر روش‌های زیر بکار گرفته شدند.

روش اول: نقشه‌های تبخیر و تعرق سنجش از دور بر اساس یک طبقه‌بندی ۹ کلاسه تهیه شده‌اند و در آنها مقدار ET₀ مطلق برآورده شده برای هر پیکسل مشخص نمی‌باشد و فقط کد مربوط به هر طبقه مشخص است که بیانگر دامنه‌ای از تغییرات ET₀ می‌باشد. در حالی که در نقشه‌های زمین‌آمار در هر پیکسل مقدار تبخیر و تعرق مرجع مشخص می‌باشد و لازم بود برای امکان پذیر شدن مقایسه، نقشه مذکور براساس طبقات نقشه حاصل از داده ماهواره‌ای طبقه‌بندی گردد. بنابراین سعی گردید که طبقه‌بندی نقشه‌های زمین‌آمار تبدیل به طبقه‌بندی نقشه‌های سنجش از دور شود، این کار بدلیل عدم یکسان بودن دامنه تغییرات ET₀ دو سری نقشه امکان پذیر نبود، لذا از ادامه روش صرف نظر گردید.

روش دوم: در این روش لایه‌های جدیدی از نقشه‌های زمین‌آمار و سنجش از دور تولید گردید که در آنها، اطراف هر ایستگاه مطالعاتی بافری که در برگیرنده حدود ۳۰ پیکسل از نقشه اصلی (زمین‌آمار و سنجش از دور) باشد تشکیل گردید. در این بافرها میانگین تبخیر و تعرق را برآورد نموده و نتایج حاصله با مقادیر تبخیر و تعرق محاسبه شده در ایستگاه‌ها مقایسه شدند. در جدول (۷) این مقایسه برای ماه ژانویه ارائه شده است. براساس این روش:

- ❖ در همه ماه‌های مورد بررسی ET₀ برآورده شده در روش زمین‌آمار با اختلاف ناچیزی برابر مقادیر محاسبه شده در ایستگاهها می‌باشد. ET₀ برآورده شده به روش سنجش از دور بصورت دامنه تعریف شده که تنها در برخی موارد، مقادیر محاسبه شده در ایستگاهها در این دامنه قرار گرفته‌اند.

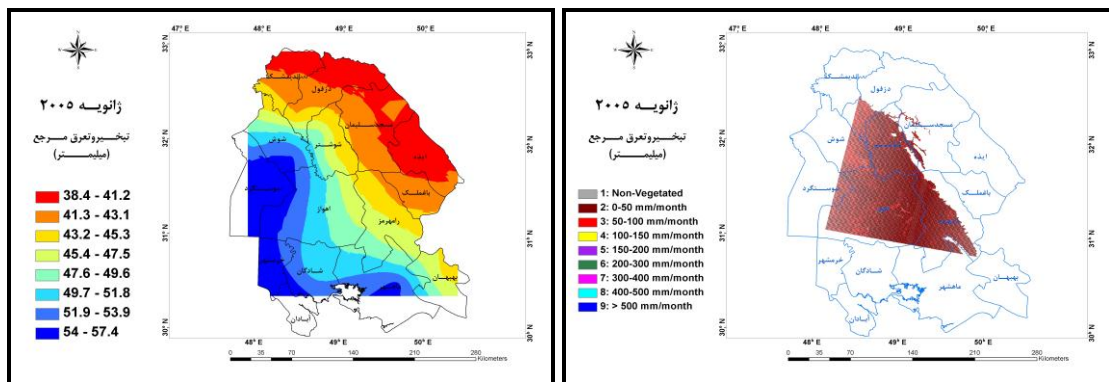
- ❖ بنابراین نقشه‌های زمین‌آمار و نقشه‌های پرروزه سنجش از دور مورد بررسی انطباق کامل ندارد و روش‌های زمین‌آمار برای مصارف عملی کاربردی‌تر از پرروزه سنجش از دور مورد بررسی در استان خوزستان می‌باشند.

۶-۳- نتایج بررسی مقایسه‌ای نقشه‌های ET₀ حاصل از زمین‌آمار و داده‌های ماهواره‌ای:

الف) تهیه نقشه‌های زمین‌آمار در زمان گذر ماهواره: جهت مقایسه نتایج مطالعه حاضر با نتایج حاصله از داده‌های ماهواره‌ای، نقشه‌های زمین‌آمار مانند نقشه‌های حاصل از داده‌های ماهواره‌ای بر مبنای مجموع تبخیر و تعرق ماهانه و با ابعاد پیکسل ۲۸/۵ متر در تاریخ‌های می ۲۰۰۲، آگوست ۲۰۰۲ و ژانویه ۲۰۰۵ تولید شدند که در این مقاله منحصراً نقشه‌های تبخیر و تعرق ماه ژانویه نمایش داده می‌شود. در نقشه‌های زمین‌آمار مقادیر تبخیر و تعرق برآورده شده در هر پیکسل مشخص می‌باشد، در حالی که در نقشه‌های حاصل از داده‌های ماهواره‌ای مقدار تبخیر و تعرق مطلق برآورده شده برای هر پیکسل مشخص نبوده و فقط کد مربوط به هر طبقه تبخیر و تعرق مشخص است که بیانگر دامنه‌ای از تغییرات تبخیر و تعرق می‌باشد.

❖ نقشه تبخیر و تعرق برآورده از تصویر ماهواره لندهست - ژانویه ۲۰۰۵: این تصویر بخش‌های وسیعی از خوزستان مرکزی و شمالی را در برگرفته است. برای تولید نقشه این ماه، داده‌های ایستگاه هواشناسی اهواز بکاربرده شده‌اند (شکل ۱۰). در این نقشه مشاهده می‌شود که در بخش‌های شمالی و مرکزی خوزستان، مجموع تبخیر و تعرق ماهانه در بیشتر مناطق بین صفر تا ۱۰۰ میلیمتر می‌باشد [۸].

❖ نقشه تبخیر و تعرق مرجع ماهانه حاصله از زمین‌آمار - ژانویه ۲۰۰۵: نقشه حاصل از زمین‌آمار کل استان خوزستان را پوشش داده و با استفاده از داده‌های هواشناسی تمام ایستگاه مطالعاتی تولید شده‌اند (شکل ۱۱). در این نقشه حداقل، حداکثر و متوسط تبخیر و تعرق به ترتیب برابر ۴/۳۸، ۴/۵۷ و ۴/۵۷ میلیمتر است. در محدوده غرب، جنوب‌غربی و جنوب استان بیشترین تبخیر و تعرق در ماه ژانویه و مناطق شمال‌غرب، شمال و شرق محدوده مطالعاتی کمترین میزان ET₀ را دارا می‌باشند [۸].



(شکل-۱۱): نقشه ETo حاصل از تصویرماهواره - زانویه ۲۰۰۵ (شکل-۱۱): نقشه ETo حاصل از زمین‌آمار - زانویه ۲۰۰۵

(جدول-۷) : مقایسه مقادیر ETo محاسبه شده در ایستگاهها با مقادیر حاصل از زمین‌آمار و سنجش از دور -

زانویه ۲۰۰۵

| نام ایستگاه | نقطه‌ای در ایستگاه | ETo(mm/month) | ETo(mm/month) | ETo(mm/month) |
|--------------------|--------------------|---------------|---------------|---------------|
| | | زمین آمار | سنجش از دور | |
| اهواز | ۴۹/۹ | ۵۱ | ۰-۵۰ | |
| رامهرمز | ۴۲/۸ | ۴۴/۶ | ۵۰-۱۰۰ | |
| شوشتار | ۴۴/۳ | ۴۶/۲ | — | |
| اهواز(ملاثانی) | ۵۱/۲ | ۴۸/۹ | ۰-۵۰ | |
| کشت و صنعت | ۵۵/۸ | ۴۸/۷ | — | |
| کارون | ۵۴/۶ | ۵۴/۳ | ۵۰-۱۰۰ | |
| حمیدیه | ۵۸ | ۵۴/۳ | ۵۰-۱۰۰ | |
| عبدالخان | ۴۱/۲ | ۴۵/۸ | ۰-۵۰ | |
| عرب اسد | ۵۵/۸ | ۵۴/۴ | ۵۰-۱۰۰ | |
| حمیدیه (تبخیرسنگی) | ۴۷/۱ | ۴۴/۶ | ۵۰-۱۰۰ | |
| پاگچی رامهرمز | ۴۳/۴ | ۴۳/۹ | ۰-۵۰ | |
| سدگتوند | | | | |

سپاسگزاری : از دانشگاه آزاد اسلامی- واحد علوم و تحقیقات تهران و همچنین دفتر تحقیقات و استانداردهای مهندسی آب سازمان آب و برق خوزستان به عنوان حمایت کننده‌های پژوهش تشکر می‌نماییم .

منابع :

- [1] Lanjero,S., Cuadrat, J.M.,Vicente-Serrano, S.M. and García-Vera, M.A,"Mapping potential evapotranspiration using high resolution digital terrain models", geographical information systems and regression-based techniques:application in the Ebro valley (NE-Spain),Geophysical Research Abstracts, Volume 8,(2006).
- [2] Gong, L., Xu, Ch.,Chen, D, "Spatial interpolation and analyses of reference evapotranspiration and its temporal trends in Changjiang(Yangtze River) Catchment, China", Geophysical Research Abstracts, Volume 7, European Geosciences Union,.(2005)
- [3] Mardikis, M.G., KALIVAS, D. P. and KOLLIAS,V.J,"Comparison of Interpolation Methods for the Prediction of Reference Evapotranspiration-An Application in Greece", Journal Water Resources Management, Publisher Springer Netherlands,Volume 19, Number 3,(2005).

- [4] Dalezios, N., Loukas, A. and Bampzelis, D., "Spatial variability of reference evapotranspiration in Greece", Physics and Chemistry of the Earth, Parts A/B/C, Volume 27, Issues 23-24, (2002).
- [5] نظری فر، م.ه، سیفی، ک.ومونی، ر. ارزیابی روش‌های زمین‌آماری و تیسن در برآورد تغییرات منطقه‌ای تبخیر و تعرق پتانسیل-مطالعه موردنی استان همدان، مجموعه مقالات نهمین سمینار سراسری آبیاری و کاهش تبخیر، دانشگاه شهید باهنر کرمان، (۱۳۸۶).
- [6] شهابی‌فر، م. برآورد تبخیر و تعرق مرجع منطقه‌ای با استفاده از زمین‌آمار و سیستم اطلاعات جغرافیایی در استان تهران، پایان نامه دکترا تخصصی علوم و مهندسی آبیاری، دانشکده کشاورزی دانشگاه تربیت مدرس، (۱۳۸۳).
- [7] مهدیان، م.ح و حسینی‌ابری، ع. بررسی تغییرات ناحیه‌ای تبخیر و تعرق پتانسیل در حوزه کارون، مجموعه مقالات هشتمین سمینار سراسری آبیاری و کاهش تبخیر، دانشگاه شهید باهنر کرمان، (۱۳۸۲).
- [8] مبasherی، م. پروژه برآورد میزان تبخیر و تعرق در دشت‌های مرکزی و شمالی خوزستان با استفاده از تصاویر ماهواره لندست 7 سنجده ETM+، سازمان آب و برق خوزستان، (۱۳۸۵).
- [9] Allen, R., Pereira, L., Raes, D. and Smith, M, "Crop Evapotranspiration (Guidelines for computing crop water requirements), FAO Irrigation and Drainage Paper Number 56", FAO - Food and Agriculture Organization of the United Nations ,Rome(1998).
- [10] وزارت کشاورزی. آیین نامه مصرف بهینه آب در کشاورزی(سند ملی نیاز آبی)- نیاز آبی، الگوی کشت و راندمان آبیاری، جلد اول دشت‌های استان خوزستان، (۱۳۷۸).
- [11] کشلوی، ح.ع، برومند نسب، س. و حسینی، ی. مقایسه روش‌های تعیین تبخیر و تعرق پتانسیل پنمن، FAO و تورنث وايت در منطقه شمال خوزستان، اولین همایش منطقه‌ای بهره برداری بهینه از منابع آب حوضه‌های کارون و زاینده رود، دانشگاه شهرکرد، (۱۳۸۵).
- [12] Doorenbos, J. and Pruitt, W," Guidelines for Predicting Crop Water Requirements, Irrigation and Drainage Paper 24, 2nd Ed", Food and Agriculture Organization of the United Nations, Rome (1977).
- [13] Johnston, K., J., Ver Hoef, K., Krivoruchko and N., Lucas, "ArcGIS9 Using ArcGIS Geostatistical Analyst", ESRI in the United States. Printed in the United States of America, (2001).
- [14] حسنه پاک، ع. ا، زمین‌آمار(ژئوستاتیستیک)، انتشارات دانشگاه تهران، (۱۳۷۷).
- [15] جامعی، م.، حجام، س. و بابایی کفاکی، س. ارزیابی روش‌های درون‌یابی در برآورد منطقه‌ای تبخیر و تعرق مرجع و مقایسه با نتایج موجود حاصل از تصاویر ماهواره‌ای در مرکز و شمال استان خوزستان. پایان نامه کارشناسی ارشد هواشناسی کشاورزی، واحد علوم و تحقیقات تهران، دانشگاه آزاد اسلامی، (۱۳۸۷).

Assessment of Geostatistics methods to estimate regional reference evapotranspiration and comparison of results with those of satellite images in central and north Khuzestan

1-Sohrab Hajjam, Associate Professor, Departeman Agrometeorology, Science and Research Branch, Islamic Azad University, Tehran

2-Mozhdeh Jamei, Agrometeorology M.S.c, Department Agrometeorology, Science and Research Branch, Islamic Azad University, Tehran, Mozhdeh.jamei@gmail.com

3-Sasan Babaei Kafaki, Assistant Professor, Department Forestry, Science and Research Branch, Islamic Azad University, Tehran

Abstract:

This study aims at assessing the accuracy of various geostatistic methods used to estimate the regional reference evapotranspiration values in Khuzestan and comparing them with available results obtained from regional satellite images .In this research, the reference evapotranspiration value was calculated using FAO Penman-Monteith method and the collected data from 38 stations in case study. To change the pointed reference evapotranspiration to regional, the accuracy of geostatistic methods such as: Inverse Distance Weighted with the powers 1 to 5 and neighborhood points 3 to 30, Thin Plate Spline, Spherical and Exponential Kriging and Cokriging were assessed. The results evaluation of geostatistic methods were based on Root Mean Square Error, Mean Bias Error, Mean Absolute Error and simple linear regression. The outcome showed that Spherical Kriging in monthly scale and Exponential Kriging in annual scale are the best methods for determining the regional reference evapotranspiration. Comparing the results obtained from Remote Sensing and geostatistic demonstrated that the estimated evapotranspiration values from geostatistic are more accurate and practical.

Key word: *Reference Evapotranspiration, Geostatistic, Spherical and Exponential Kriging, Geographical Information System, Remote Sensing, Khuzestan.*